

МЕТОДИКА ИССЛЕДОВАНИЯ ПРОСТРАНСТВЕННЫХ И ПОЛЯРИЗАЦИОННЫХ ПАРАМЕТРОВ ЛАЗЕРНОГО ИЗЛУЧЕНИЯ

Исследование пространственного распределения и поляризационных параметров лазерного излучения всегда было актуальной задачей. Однако в последнее время в связи со значительным расширением практической сферы применения инжекционных лазеров возникла острая необходимость в разработке методов исследований, адаптированных к специфике формирования поля излучения полупроводниковыми лазерами, поскольку параметры этого поля варьируются в очень широких пределах.

Для лазеров с асимметричными резонаторами проблема определения пространственного распределения потока излучения не представляет особой сложности. Задание радиусов кривизны зеркал и оптического промежутка между ними полностью определяет структуру пучка излучения. Исходные параметры определяют матрицу

$$\begin{bmatrix} A & B \\ C & D \end{bmatrix}$$

описания резонатора и соответственно структурные параметры пучка излучения [1]:

- радиус кривизны волнового фронта $R = \frac{2B}{D-A}$ (A, B, C, D – матричные элементы);

- расходимость волнового фронта $\frac{1}{R} = \frac{D-A}{2B}$;

- положение перетяжки пучка $z = \frac{A-D}{2C}$;

- радиус пучка в перетяжке $\omega_0 = \left(\frac{-\lambda \sin \theta}{\pi c} \right)^{\frac{1}{2}}$;

- конфокальный параметр пучка $z_0 = \frac{\pi \omega_0^2}{\lambda} = \frac{-\sin \theta}{c}$;

- половина угла расходимости в дальней зоне $Vp = \frac{\lambda}{\pi \omega_0} = \left(\frac{-\lambda c}{\pi \sin \theta} \right)$;

$\sin\theta$ определяется через характеристические корни матрицы резонатора $\lambda_{1,2} = \exp(i\theta) = \cos\theta + i\sin\theta$, где $\cos\theta = \frac{A+D}{2}$, а

$$\sin\theta = \pm \sqrt{1 - \left(\frac{A+D}{2}\right)^2} \quad \text{соответственно}$$

Характеристические корни определяются из соотношения

$$\lambda_{1,2} = \frac{1}{2} \left[A+D \pm \sqrt{(A+D)^2 - 4} \right]$$

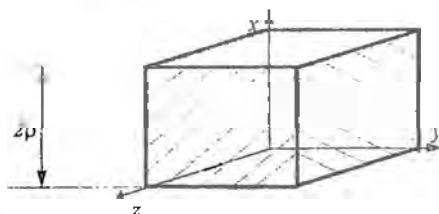


Рис. 1. Схема резонатора полупроводникового лазера

Наиболее полно характер пространственного распределения пучка можно описать через комплексный характер кривизны:

$$q = \frac{A-D}{2C} + \frac{i\sin\theta}{C}$$

Следует отметить, что приведенные соотношения справедливы для одномодового лазера, для многомодовых систем характер распределения усложняется в большей и в меньшей степени в соответствии с модовой структурой. Построение резонатора в форме планарного волновода – характерная структура построения резонатора полупроводникового инжекционного лазера. Поля мод можно представить (координаты согласно рис. 1) как

$$\vec{E}(x, y) = \vec{e}(x) \exp(i\beta z); \quad \vec{H} = \vec{h}(x) \exp(i\beta z),$$

где β – постоянная распространения, или соответствующее значение моды.

В этом случае согласованные решения уравнений Максвелла имеют вид

$$\vec{e}_1 = -\left(\mu_0/\epsilon_0\right)^{1/2} \frac{1}{kn} \vec{z} \times \left\{ \beta \vec{h}_1 + iV_1 \vec{h}_2 \right\},$$

$$\begin{aligned} \bar{h}_1 &= (\epsilon_0 / \mu_0)^{1/2} \frac{1}{k} 2x \left\{ \beta e_x + \sqrt{\nu_x} e_y \right\}, \\ e &= i(\mu_0 / \epsilon_0)^{1/2} \frac{1}{kn^2} z \cdot \nabla_x x \bar{h}_1 = \frac{i}{\beta} \left\{ \nabla_x \cdot e_x + (\bar{\epsilon}_x \nabla_x) \ln n^2 \right\}, \\ \bar{h}_2 &= -i(\epsilon_0 / \mu_0)^{1/2} z \cdot \nabla_x \cdot x \cdot \bar{e}_x = \frac{i}{\beta} \nabla_x \cdot \bar{h}_1, \end{aligned}$$

в которых $e_x = e_z = h_x = 0$. Векторные операторы даны в [3]. Эти решения являются ТЕ-модами, а e_y удовлетворяет уравнению

$$\frac{d^2 e_y}{dx^2} + (n^2 k^2 - \beta^2) e_y = 0.$$

Если профиль показателя преломления представить в общем виде:

$$n^2(X) = n_0^2 [1 - 2\Delta f(X)], \quad X = x/\rho,$$

где $f(X) > 0$ то получим

$$\left[\frac{d^2}{dX^2} + U^2 - V^2 f(X) \right] e_y = 0,$$

где n_0 — показатель преломления сердцевинки; n_1 — показатель преломления оболочки; $\beta = \frac{1}{\rho} \left\{ \frac{\nu^2}{2\Delta} - U^2 \right\}^{1/2}$ — постоянная распространения;

$U = \rho(k^2 n_0^2 - \beta^2)^{1/2}$ — параметр моды в сердцевинке;

$V = \frac{2\pi}{\lambda} \rho(n_0^2 - n_1^2)^{1/2}$ — волноводный параметр; $\Delta = \frac{n_0^2 - n_1^2}{2n_0^2}$ — параметр

высоты профиля; e_y — является решением скалярного волнового уравнения.

Остальные компоненты поля определяются следующим образом:

$$\begin{aligned} h_x &= -(\epsilon_0 / \mu_0)^{1/2} \frac{\beta}{k} e_y; \\ h_z &= -(\epsilon_0 / \mu_0)^{1/2} \frac{\beta}{k} \frac{de_y}{dx} \end{aligned}$$

В волноводах с параболическим профилем поле выражается через полиномы Эрмита H_n порядка $n \geq 0$. В случае гиперболического тан-

генского профиля по z выражается через функции Лежандра P_n^m , где n не обязательно должно быть целым числом, а четные и нечетные значения n соответствуют четным и нечетным модам. В случае экспоненциального профиля e_z описывается функцией Бесселя первого рода J_p , порядок которой p неявно определяется непрерывностью поля в точке $x = 0$. В случае линейного профиля e_z выражается через функции Эйри первого рода.

Прохождение оптического потока через плоскую границу из среды с показателем преломления n_2 в среду с показателем преломления n_1 формально описывается френелевскими соотношениями для отраженного и прошедшего потоков

Лазерные моды по конфигурации отличаются от плоских волн в силу неоднородности амплитуды в поперечном направлении и в силу непланарности волнового фронта. В результате коэффициент отражения R_m для лазерной моды даже при нулевых поперечных индексах (R_{00}) может заметно отличаться от R_1 . Преобразование потока лазерной моды на торцевом обрыве диэлектрического волновода подобно рассеянию, причем этот поток разбивается на вышедший во внешнюю среду (пропорционально коэффициенту прозрачности), отраженный в ту же моду (пропорционально R для основной моды), а также потоки, отраженные в другие направляемые и вытекающие моды (их доля пропорциональна коэффициенту рассеяния). Это действительно вблизи порога, выше порога необходимо учитывать влияние неоднородного по длине резонатора насыщения усиления. Формирование индикатрисы излучения определяется следующими факторами.

- дифракцией на границе излучающей зоны на зеркале резонатора;
- непрозрачностью выходящего волнового фронта вследствие поперечных потоков излучения в резонаторе и оптических неоднородностей;
- наложением нескольких индикатрис со смещенными осевыми направлениями (многомодовый режим работы);
- различными размерами излучающей зоны в поперечных направлениях, соответственно различной кривизной волнового фронта в ортогональных плоскостях распространения излучения (астигматизм пучка излучения).

По картине в ближней зоне (распределения излучения на зеркале резонатора) с применением теории дифракции можно рассчитать ин-

дикатрису излучения, определяющую картину в дальней зоне. Эта задача разрешима при одном условии – в случае одномодового режима работы. Актуальна обратная задача – выяснение структуры моды или модового состава по картине в дальней зоне. Для одномодового режима важнейшим свойством является сохранение гауссова профиля в ближней и дальней зонах. Угловое распределение во взаимно ортогональных плоскостях распространения излучения [2] составляет

$$\Delta\theta = 2 \operatorname{arctg} \left\{ \frac{1}{2} (\ln 2) \left[(2/k_0 \rho)^2 + (\rho/R_{0z})^2 \right] \right\}^{1/2},$$

где k_0 – волновой вектор; ρ – ширина излучающей области в ближней зоне; R_{0z} – радиус кривизны волнового фронта в вертикальном сечении в плоскости $z = 0$. Для перпендикулярного сечения

$$\Delta\psi = 2 \operatorname{arctg} \left\{ \frac{1}{2} (\ln 2) \left[(2/k_0 \omega_0)^2 + (\omega_0/R_{0y})^2 \right] \right\}^{1/2},$$

где ω_0 и R_{0y} – ширина излучающей области и кривизна волнового фронта в ближней зоне в горизонтальной плоскости

Отклонение главного лепестка от оси свидетельствует о наличии асимметричного профиля в резонаторе. Минимальная расходимость излучения достигается при $1/R_{0x} = 1/R_{0y} = 0$ (дифракционный предел):

$$\Delta\theta_0 = 2 \operatorname{arctg}(0,59\lambda/\pi\rho);$$

$$\Delta\psi_0 = 2 \operatorname{arctg}(0,59\lambda/\pi\rho).$$

Ввиду малой толщины активного слоя расходимость излучения в вертикальном сечении обычно весьма значительна. Большая расходимость обусловлена эффектом оптического ограничения

За основную модель исследований примем модель инжекционно-го лазера с резонатором в форме планарного световода с оптической длиной b . Поле излучения является суперпозицией мод типа TEM_{mn} . Аналитическое выражение для поля излучения представляет собой гауссо-эрмитово распределение:

$$E_{mn} = \frac{1}{p} E_{0mn} e^{-\frac{x^2+y^2}{2p^2}} H_m\left(\frac{x}{p}\right) H_n\left(\frac{y}{p}\right) e^{i\varphi}, \quad (1)$$

где H_m – полином Эрмита порядка m , $p = \sqrt{\left(1 + \frac{4z^2 \lambda b}{b^2 4\pi}\right)}$; z – координата в направлении оси резонатора. Из выражения (1) видно, что

фронт волны не является плоским, это приводит к расходимости пучка.

При генерации на модах типа TE_{m0} поле излучения распределено в пространстве по закону

$$E_{(m)} = \frac{1}{\rho} E_{000} e^{-\frac{x^2}{2\rho^2}} e^{i\varphi}$$

Расходимость можно характеризовать линиями равных амплитуд, т. е. кривыми, проходящими через точки, в которых напряженность поля меньше напряженности поля на оси резонатора в заданное число раз.

При постоянной мощности излучения

$$e^{-\frac{x^2}{2\rho^2}} = \text{const}$$

линии равных амплитуд в плоскости (x, y) задаются уравнением

$$\frac{x^2}{\rho^2} = \text{const}.$$

Если размеры пятна определить по уровню половинной мощности, то $e^{-\frac{x^2}{2\rho^2}} = \frac{1}{2}$ и $\frac{x^2}{\rho^2} = \ln 2$ или, подставив значение ρ ,

$$\frac{4\pi x^2}{\lambda b \ln 2} - \frac{4z^2}{b^2} = 1.$$

Из гиперболического характера линий равных амплитуд вытекает неоднозначное понятие расходимости. В этом случае под углом расходимости следует понимать угол между асимптотами кривых. Уравнение асимптот имеет вид

$$x = \pm \sqrt{\frac{\lambda \ln 2}{\pi b}} \cdot z.$$

Угол расходимости выражается как

$$\theta_m = 2 \sqrt{\frac{\lambda \ln 2}{\pi b}} = 0,939 \sqrt{\frac{\lambda}{b}}$$

Асимптотическое поведение линий равных амплитуд начинается при $\frac{4z^2}{b^2} \geq 1$. Далее определяется расстояние, с которого можно изме-

рять расходимость пучка. Для измерения расходимости пучка может быть использован метод фокального пятна.

Преобразование поля идеальной безаберрационной оптической системой дает в фокальной плоскости амплитудное распределение, адекватное диаграмме направленности. Таким образом, измерение диаграммы направленности в дальней зоне может быть заменено измерением поля в фокальном пятне.

На рис. 2 представлена оптическая схема устройства для определения угла расходимости пучка излучения инжекционного лазера [5].

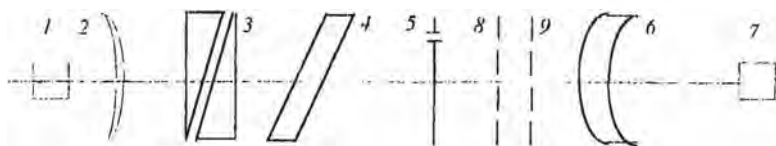


Рис. 2. Оптическая схема измерителя угла расходимости.

1 – инжекционный лазер; 2 – коллимирующая безаберрационная оптическая система; 3 – призматная система для исправления астигматизма пучка излучения; 4 – плоскопараллельная стеклянная пластинка для коррекции пучка относительно оптической оси; 5 – сканирующая диафрагма; 6 – собирающая оптическая система; 7 – приемник излучения.

Поток излучения коллимируется системой 2 и собирается в плоскость анализа 7 системой 6. Анализ угла расходимости пучка излучения инжекционного лазера усложняется наличием астигматизма в структуре поля излучения. Для исправления астигматизма в зоне коллимации пучка вводится призматная система. Изменением угла разворота призм варьируется коэффициент анаморфозы, которым компенсируется коэффициент астигматизма пучка. Калибровка угла разворота с учетом линейной связи между коэффициентами астигматизма и анаморфозы дает возможность производить непосредственный отсчет коэффициента астигматизма по углу разворота призм.

При исправлении астигматизма призматной системой пучок излучения смещается с оптической оси. Коррекция смещения производится наклоном плоскопараллельной стеклянной пластинки 4.

Пучок излучения, проходящий через диафрагму 5, дает в фокальной плоскости системы 6, где установлен приемник излучения 7, изображение с интенсивностью, пропорциональной углу расходимости. Сканирование диафрагмой 5 в двух взаимно ортогональных плоскостях дает полную информацию об угле расходимости лазерного излучения. Реальная картина углового распределения потока излучения

инжекционного лазера строится с учетом измеренного коэффициента астигматизма.

Для измерения поляризационных параметров пучка излучения методику оценки можно развивать при некотором изменении базовой схемы (рис. 2). Убирается диафрагма S , на ее место предусматривается установка четвертьволновой пластинки δ и поляризатора ρ . Возможные варианты оценки поляризационных параметров ограничены четырьмя методами построения: сфера Пуанкаре, матрицы Стокса, Мюллера, Джонса. С учетом весьма сложной, неоднозначной технологии формирования поляризационных параметров, особенно для квантоворазмерных инжекционных лазеров [2, 4], метод Стокса видится более перспективным. Реализация этого метода производится по следующему алгоритму.

Предположим, что пучок распространяется вдоль оси oz , ось oy расположена в вертикальной плоскости, ox - в горизонтальной. Световое поле характеризуется угловой частотой ω , компоненты электрического вектора определяются выражениями.

$$E_x = A \cos \theta \cos \omega t; \quad E_y = A \sin \theta \cos(\omega t + \theta),$$

где A - амплитуда, θ - фаза осциллирующего поля. Если исключить ωt , то получается уравнение, связывающее x - и y -компоненты электрического вектора световой волны:

$$\frac{E_x^2}{A^2 \cos^2 \theta} - \frac{2E_x E_y \cos \Delta}{A^2 \sin \theta \cos \theta} + \frac{E_y^2}{A^2 \sin^2 \theta} = \sin^2 \Delta$$

где Δ - фазовый сдвиг. Обозначим $E_1 = A \cos \theta$, $E_2 = A \sin \theta$, тогда

$$\frac{E_x^2}{E_1^2} - \frac{2E_x E_y \cos \Delta}{E_1 E_2} + \frac{E_y^2}{E_2^2} = \sin^2 \Delta \quad (2)$$

Уравнение (2) определяет эллипс с полуосями, параллельными осям ox и oy . Для состояния поляризации, описываемого величинами E_1 , E_2 и Δ , определяются четыре параметра Стокса [1]:

$$I = E_1^2 + E_2^2 = A^2,$$

$$Q = E_1^2 - E_2^2 = A^2 \cos^2 \theta - A^2 \sin^2 \theta = A^2 \cos 2\theta = I \cos 2\theta;$$

$$U = 2E_1 E_2 \cos \Delta = 2(A \cos \theta)(A \sin \theta) \cos \Delta = A^2 \sin 2\theta \cos \Delta = I \sin 2\theta \cos \Delta;$$

$$V = 2E_1 E_2 \sin \Delta = I \sin 2\theta \sin \Delta$$

В соответствии с определениями этих величин

$$E_x^2 = \frac{1}{2}(I+Q) \quad E_y^2 = \frac{1}{2}(I-Q) \quad \sin^2 \Delta = \frac{I^2 - U^2}{4E_x^2 E_y^2} = \frac{I^2 - U^2}{I^2 - Q^2}$$

Наименьший угол $\alpha/2$, который одна из осей эллипса составляет с осью ox :

$$\operatorname{tg} \alpha = \frac{U}{Q} = \operatorname{tg} 2\theta \cos \Delta$$

При этом отношение квадратов длин малой и большой осей имеет вид

$$\frac{I - \sqrt{(Q^2 + U^2)}}{I + \sqrt{(Q^2 + U^2)}} = \frac{1 - \sqrt{1 - \sin^2 2\theta \sin^2 \Delta}}{1 + \sqrt{1 - \sin^2 2\theta \sin^2 \Delta}}$$

Четыре параметра Стокса, определяющие состояние поляризации пучка лазерного излучения, можно рассматривать как элементы матрицы размером 4×1 - столбец (вектор) Стокса:

$$s = \begin{bmatrix} I \\ Q \\ U \\ V \end{bmatrix}$$

1. В позицию 9 (рис 2) устанавливается поляроид (из хода лучей убирается диафрагма 2) так, что плоскость пропускания его параллельна оси ox . Поляроид пропускает интенсивность, которая пропорциональна квадрату амплитуды вектора электрического поля, т. е. E_x^2 .

2. Поляроид разворачивается, плоскость его пропускания выстраивается вертикально, т. е. параллельно оси oy . Теперь поляризатор пропускает интенсивность пропорционально квадрату y -компоненты вектора электрического поля, т. е. E_y^2 . В результате определены величины:

$$I = E_x^2 + E_y^2 \quad \text{и} \quad Q = E_x^2 - E_y^2.$$

3. Исходный пучок пропускается через поляроид, плоскость пропускания которого образует угол 45° с горизонталью, и проходит через первый и третий квадраты. Используя матрицу Мюллера, соответствующую поляриду, получаем вектор Стокса для пучка, прошедшего через поляроид:

$$\frac{1}{2} \begin{bmatrix} 1 & 0 & 1 & 0 \\ 0 & 0 & 0 & 0 \\ 1 & 0 & 1 & 0 \\ 0 & 0 & 0 & 0 \end{bmatrix} \begin{bmatrix} I \\ Q \\ U \\ V \end{bmatrix} = \frac{1}{2} \begin{bmatrix} I+U \\ 0 \\ I+U \\ 0 \end{bmatrix}$$

Таким образом, интенсивность пучка, прошедшего через поляроид, равна $(1/2)(I + U)$

4. Поляроид ориентирован так, что его плоскость пропускания также составляет 45° с горизонталью, но проходит через второй и четвертый квадраты. После вычисления матрицы Мюллера для такого положения поляризатора получается значение вектора Стокса:

$$\frac{1}{2} \begin{bmatrix} 1 & 0 & -1 & 0 \\ 0 & 0 & 0 & 0 \\ -1 & 0 & 1 & 0 \\ 0 & 0 & 0 & 0 \end{bmatrix} \begin{bmatrix} I \\ Q \\ U \\ V \end{bmatrix} = \frac{1}{2} \begin{bmatrix} I-U \\ 0 \\ -I+U \\ 0 \end{bmatrix}$$

Интенсивность пучка в этом случае $(1/2)(I - U)$. Разность интенсивности четвертого и третьего измерения дает параметр U .

Таким образом, определены три из четырех параметров Стокса. Для измерения четвертого параметра в позицию 8 устанавливается четвертьволновая пластинка так, что ее быстрая ось горизонтальна. Используя матрицу Мюллера для четвертьволновой пластинки, определяем вектор Стокса:

$$\begin{bmatrix} 1 & 0 & 0 & 0 \\ 0 & 1 & 0 & 0 \\ 0 & 0 & 0 & 1 \\ 0 & 0 & -1 & 0 \end{bmatrix} \begin{bmatrix} I \\ Q \\ U \\ V \end{bmatrix} = \begin{bmatrix} I \\ Q \\ V \\ -U \end{bmatrix}$$

5. Пучок, прошедший через четвертьволновую пластинку, пропускается через поляроид, плоскость пропускания которого образует угол 45° с горизонталью и проходит через первый и третий квадраты, вектор Стокса для этого случая:

$$\frac{1}{2} \begin{bmatrix} 1 & 0 & 1 & 0 \\ 0 & 0 & 0 & 0 \\ 1 & 0 & 1 & 0 \\ 0 & 0 & 0 & 0 \end{bmatrix} \begin{bmatrix} I \\ Q \\ V \\ -U \end{bmatrix} = \frac{1}{2} \begin{bmatrix} I+V \\ 0 \\ I+V \\ 0 \end{bmatrix}$$

Интенсивность на выходе поляроида $(1/2)(I - V)$

б) Пучок вышедший из четвертьволновой пластинки, пропускается через поляризатор, ориентированный так, что плоскость его пропускания образует угол 45° с горизонталью и проходит через второй и четвертый квадраты. Вектор Стокса для этого случая:

$$\frac{1}{2} \begin{bmatrix} 1 & 0 & -1 & 0 \\ 0 & 0 & 0 & 0 \\ -1 & 0 & 1 & 0 \\ 0 & 0 & 0 & 0 \end{bmatrix} \begin{bmatrix} I \\ Q \\ V \\ -U \end{bmatrix} = \frac{1}{2} \begin{bmatrix} I - U \\ 0 \\ -I + U \\ 0 \end{bmatrix}$$

Интенсивность равна $(1/2)(I - U)$. Если взять разность интенсивности пятого и шестого измерений, получим параметр V

Таким образом установлены все четыре параметра U , следовательно, определен угол оси эллипса с горизонталью, т. е. ориентация эллипса относительно излучающей области, соотношение длин малой и большой осей. Кроме того, параметр I означает интенсивность пучка, Q - параметр преимущественной горизонтальной поляризации, U - параметр преимущественной поляризации под углом 45° , V - параметр преимущественной правой циркулярной поляризации. Если параметр принимает отрицательное значение, то это означает, что преимущественной является ортогональная форма поляризации.

Степень поляризации связана с параметрами Стокса:

$$\frac{\sqrt{Q^2 + U^2 + V^2}}{I}$$

Метод исследования поляризационных параметров, основанный на определении вектора Стокса, имеет достаточно универсальную сферу применения, кроме исследований инжекционных лазеров можно проводить исследования газовых, твердотельных и других лазеров. Единственное условие - учет конфокального параметра, который может привести к изменению входного объектива.

Литература

1. Джеррард А., Бёрч Дж. М. Введение в матричную оптику. М. Мир, 1978.
2. Елисеев И. Г. Введение в физику инжекционных лазеров. М. Наука, 1983
3. Снайдер А., Лав Дж. Теория оптических волноводов: Пер. с англ. М.: Радио и связь, 1987.
4. Карих Е. Д., Манах И. С. Полупроводниковые лазеры. Мн. БГУ, 1999.